

تحلیل خطر و ریسک زلزله سدها (مطالعه موردی سد چاه‌نیمه ۱ زابل)*

(یادداشت پژوهشی)

علی کمک‌پناه^(۱)حمیدرضا رحمانی^(۲)

چکیده زلزله در طول تاریخ سرمنشأ بسیاری از خرابی‌ها و تلفات انسانی قابل توجه بوده است و همواره نگرانی‌های زیادی درخصوص تخریب سازه‌های عظیمی چون سدها، به واسطه زیان‌های مالی و جانی قابل توجه ناشی از آن و نیز رها شدن کنترل‌نشده آب به سمت شهرها و روستاهای متمرکز در پایین دست آن وجود داشته است. یکی از پرکاربردترین روش‌های مقابله با خطرهای زلزله، تحلیل ریسک لرزه‌ای سازه‌ها می‌باشد. در این تحقیق به بررسی انواع تحلیل ریسک‌های لرزه‌ای مورد استفاده در سدها پرداخته شده است و تحلیل خطر زلزله برای سد چاه‌نیمه ۱ زابل انجام شده و تحلیل ریسک نیمه کمی برای سد چاه‌نیمه ۱ زابل با توجه به تحلیل خطر زلزله در محل مورد نظر به دست آمده است؛ به طوری که این سد در دسته بندی ریسک متوسط قرار می‌گیرد و نیاز به طراحی مجدد و یا تقویت بدنه سد نیست. نتایج این تحقیق می‌تواند به عنوان راهنمایی برای تحلیل ریسک لرزه‌ای سدهای دیگر کشور مورد استفاده قرار گیرد.

واژه‌های کلیدی تحلیل خطر، تحلیل ریسک، زلزله، سد چاه‌نیمه.

Seismic Hazard and Risk Analysis of Dam (Case Study: Chah Nimeh Dam)

A. Komak Panah

H. R.. Rahmani

Abstract In the history, Earthquakes have been a major source of many damages and human losses and there has always been a lot of concern about the destruction of large structures such as dams due to significant financial losses and casualties caused by it as well as the uncontrolled release of water in the towns and villages located downstream. Seismic risk analysis, one of the most important methods to deal with earthquake hazards. In this study a type of seismic risk analysis in dams is discussed and used and seismic hazard analysis is conducted for the Chah Nimeh Zabol dam. Semi-quantitative risk analysis for Chah Nimeh Zabol dam by seismic hazard analysis for the location of the dam was conducted which placed it in the medium risk category and there is no requirement to redesign or reinforce the dam body. The results can be used as a guide for seismic risk of the dams.

Key Words Hazard Analysis, Risk Analysis, Seismic, Chah Nimeh Dam.

* تاریخ دریافت مقاله ۹۵/۱۰/۲۷ و تاریخ پذیرش آن ۹۷/۸/۱۵ می‌باشد.

Email: a-panah@modares.ac.ir

(۱) نویسنده مسئول، دانشیار، دانشکده مهندسی عمران و محیط زیست، دانشگاه تربیت مدرس
(۲) دانشجوی دکتری ژئوتکنیک، دانشکده مهندسی عمران و محیط زیست، دانشگاه تربیت مدرس.

مقدمه

بررسی تحلیل خطر زلزله در مورد سدهای خاکی پرداخته‌اند و برای سدهای خاکی دو حالت خرابی را در نظر گرفته‌اند.

گاوس چالک و همکاران [3] در مقاله‌ای ضوابط تحلیل خطر لرزه‌ای سدها در کشور انگلیس را مورد بررسی قرار داده‌اند. آنها لرزه‌خیزی مناطق مختلف کشور انگلیس را توسط نقشه‌هایی مشخص کرده‌اند و ضوابط کمیسیون بین‌المللی سدهای بزرگ دنیا را [1] مورد بررسی قرار داده‌اند و ضوابطی را برای طراحی سدهای جدید و تحلیل خطر لرزه‌ای سدهای در دست بهره‌برداری پیشنهاد نموده‌اند.

استفانیشین [4] در مقاله به ارائه توصیه‌هایی برای طراحی سدها با توجه به ریسک پرداخته‌است و این توصیه‌ها شامل برآورد ریسک سدهای موجود در دست بهره‌برداری نمی‌باشد. وی سدهای در حال ساخت را به دو دسته موقتی و دائمی تقسیم نموده‌است و برای هر کدام مقدار ریسک مجاز را مشخص کرده‌است و توصیه‌هایی برای طراحی سدها با توجه به در نظر گرفتن ریسک ارائه داده‌است.

در سال‌های بعد از ۲۰۰۰ میلادی بیشتر مباحث تحلیل ریسک سدها به روش‌های نیمه کمی مورد بررسی قرار گرفته‌است.

نصیر و همکاران [5] در مقاله‌ای، تحلیل خطر لرزه‌ای سد کفرین را بررسی نموده‌اند. ساختگاه این سد بر روی گسل فعال مصر قرار دارد و حداکثر بزرگای زلزله برابر و یا بزرگ‌تر از ۷/۵ بر روی این گسل مورد انتظار است.

ویلند [6] در مقاله‌ای به بررسی نکاتی پرداخته‌است که مهندس طراح سد باید از آنها در تحلیل خطر زلزله اطلاع داشته باشد و در طراحی‌ها در نظر بگیرد. بعد از معرفی روش بورا [7] اکثر مقالات با استفاده از این روش به بررسی تحلیل ریسک سدهای مورد مطالعه پرداخته‌اند.

توسان و همکاران [8] در مقاله‌ای به بررسی تحلیل ریسک لرزه‌ای ۳۲ سد کشور ترکیه که در حوضه آبریز یوفرات واقع شده‌اند و دارای ارتفاع بیش از ۳۰ متر

آمار زلزله‌های به وقوع پیوسته در سراسر جهان نشان‌دهنده آن است که آن دسته از سدهای خاکی که تحت تأثیر زلزله قرار گرفته‌اند رفتارهای مختلفی از آسیب و نشست‌های جزئی تا تخریب کامل از خود نشان داده‌اند. بنابراین توجه به خطرات ناشی از تخریب احتمالی سدهای خاکی و سنگ‌ریزه‌ای تأثیر قابل ملاحظه‌ای بر مشخصات طراحی خواهد داشت.

با توجه به اهمیت سازه‌هایی مانند سدها، تحلیل خطر و تحلیل ریسک زلزله در سدها از مسائل مهم در طراحی و تصمیم‌گیری‌ها می‌باشد که در چند دهه اخیر مورد بررسی و مطالعه بیشتری قرار گرفته‌است.

از گذشته تاکنون تحلیل‌های استاتیکی و دینامیکی برای سدها انجام شده‌است. سدها اولین سازه‌هایی هستند که در برابر زلزله طراحی شده‌اند (۱۹۳۰)؛ حتی هنگامی که برای پروژه‌های سد اطلاعات لرزه‌خیزی موجود نبود، از ضریب زلزله ۰/۱ برای تحلیل شبه‌استاتیک (Pseudo-static analysis) استفاده می‌شد.

در سال ۱۹۸۹، کمیسیون بین‌المللی سدهای بزرگ دنیا (ICOLD) [1] اولین نسخه راهنمای انتخاب پارامترهای زلزله برای سدهای بزرگ را منتشر کرد که در آن تأکید شده بود که سدها باید در برابر حداکثر زلزله مورد انتظار (Maximum Credible Earthquake (MCE)) مقاوم باشند. این راهنما در سال ۲۰۱۰ به‌روزرسانی شد و در این نسخه حرکت زمین تحت زلزله (تاریخچه شتاب- زمان) برای سدها توصیه شد به این صورت که چندین تاریخچه شتاب- زمان متفاوت برای نمایش حرکت زمین در طراحی انتخاب شود و این تاریخچه شتاب- زمان به وسیله نمودارهای شتاب‌نگاشت واقعی از شرایط مشابه سایت سد تحت مطالعه انتخاب شود.

در مورد تحلیل ریسک لرزه‌ای سدها، در سال‌های قبل از ۲۰۰۰ میلادی بیشتر مباحث تحلیل ریسک به صورت کیفی مورد بررسی قرار می‌گرفت.

یجیان و همکاران [2] در مقاله‌ای به چگونگی

سد و ساختارهای اجتماعی و زیست‌محیطی بستگی دارد. فرایند آنالیز ریسک در سه گروه طبقه‌بندی می‌شود: الف) مطالعات کیفی (Qualitative)، ب) مطالعات نیمه‌کمی (Semi-Quantitative) و ج) مطالعات کمی (Quantitative). روش‌های نیمه‌کمی دقیق‌تر از روش‌های کیفی هستند و روش‌های کمی دقیق‌تر از روش‌های نیمه‌کمی به بررسی ریسک می‌پردازند. روش‌های واضحی که به‌طور کامل بتوانند تحلیل ریسک کمی برای سدها را انجام دهند، در حال حاضر وجود ندارند [10].

تحلیل ریسک لرزه‌ای کیفی

بررسی‌های انجام‌شده بر روی منابع و مراجع مختلف بین‌المللی درخصوص تعیین حداقل تحلیل‌های لرزه‌ای مورد نیاز برای سدهای خاکی و سنگ‌ریزه‌ای، براساس دسته‌بندی و پتانسیل‌های خطر پیش‌بینی‌شده، نشان‌دهنده آن است که یک اجماع کلی در این باره وجود ندارد و هر یک از مراجع بسته به شرایط محیطی و لرزه‌ای و نیز شکل و ابعاد سدهای ساخته‌شده در آن کشور پیشنهادها متفاوتی را ارائه نموده‌اند. در کشور ایران در نشریه شماره ۶۲۴ معاونت برنامه‌ریزی و نظارت راه‌بردی رئیس‌جمهور [۱۱] روش کمیسیون بین‌المللی سدهای بزرگ دنیا [1] ارائه شده‌است. در این تحقیق از این روش استفاده شده‌است.

روش کمیسیون بین‌المللی سدهای بزرگ

عوامل مؤثر در گزینش پارامترهای لرزه‌ای. تعیین سطح زلزله در طراحی و در تحلیل لرزه‌ای یک سد بسیار حائز اهمیت است. عدم توجه به این نکته می‌تواند به غیراقتصادی و یا غیرایمن شدن طرح منجر شود. برای این منظور لازم است دو عامل میزان خطر لرزه‌ای ساختگاه سد و میزان خطرپذیری سازه مورد توجه قرار گیرند.

الف) میزان خطر لرزه‌ای ساختگاه سد: بر مبنای بیشینه مقادیر شتاب زمین (Peak Ground Acceleration) (PGA)) در سطح خطر لرزه‌ای حداکثر زلزله مورد انتظار،

می‌باشند، پرداخته‌اند. این مقاله به‌طور کامل در مورد تحلیل ریسک نیمه‌کمی در سدها بحث نموده و از روش بورا [7] در این مقاله استفاده گردیده‌است.

مولداوان و همکاران [9] در مقاله‌ای به بررسی تحلیل ریسک لرزه‌ای سدهای موجود در دو رودخانه سیرت و بیستریتا در کشور رومانی پرداخته‌اند. برای تحلیل خطر زلزله از روش تحلیل خطر احتمالاتی و برای تحلیل ریسک زلزله از روش بورا [7] استفاده شده‌است. استفاده از تحلیل ریسک زلزله و استفاده از آن در فرایندهای تصمیم‌سازی می‌تواند تأثیر قابل ملاحظه‌ای در به‌سازی و اقتصادی کردن روند تعمیر، تقویت و یا حفظ وضعیت موجود سازه داشته باشد. کاهش خسارت ناشی از یک زلزله با اعمال ملاحظات فنی و اقتصادی در قالب خطر و ریسک زلزله بر مبنای احتمالاتی می‌تواند ایدئال‌ترین گزینه موجود در حال حاضر باشد.

معرفی

تحلیل ریسک لرزه‌ای

تحلیل ریسک فراهم‌کننده ساختار و انجام سیستماتیک در بحث احتمال حوادث و عواقب رخداد حادثه است و از اجزای ضروری برای فرایند مدیریت ایمنی می‌باشد. تحلیل ریسک شامل انتخاب حرفه‌ای بین ریسک‌های مختلف و بین هزینه‌ها و منافع است.

هدف آنالیز ریسک برآورد احتمال شکست سد یا اجزای سد و عواقب بعدی آن است. خروجی آنالیز ریسک تلاش می‌کند ساختار تئوری را معرفی کند تا کارایی سد در عمر طراحی سد پیش‌بینی شود و برآورد ریسک خصوصیت فیزیکی سد نباشد و نمایش ریاضی و احتمالاتی در مورد کارایی آینده سد باشد.

فرایند تحلیل ریسک ممکن است از کشوری به کشور دیگر متفاوت باشد و برآورد ریسک عواملی مانند اجتماعی، قانونی و... و قضاوت در مورد این‌که تحلیل ریسک در فرایند تصمیم‌گیری وارد شود از کشوری تا کشور دیگر کاملاً متفاوت است. شرایط تغییرات ریسک به انسان‌ها، اقتصاد، ارکان‌های دولتی و خصوصی مالک

براساس گنجایش مخزن و ارتفاع آن، تعداد افرادی که هنگام زلزله باید تخلیه شوند و آسیب‌های بالقوه پایین‌دست تعیین می‌شود. اثرگذاری هر یک از این عوامل بر میزان خطرپذیری سد براساس مقادیری است (بین صفر تا ۱۲) که در جدول (۲) به تفکیک ارائه شده‌است. با جمع مقادیر مربوط به هر یک از این عوامل، میزان خطرپذیری یک سد تعیین می‌گردد. در نهایت این میزان عددی بین صفر تا ۳۶ خواهد بود.

با محاسبه میزان خطرپذیری کل (براساس جمع مقادیر هر یک از عوامل مذکور در جدول (۲)، درجه خطرپذیری آن سد را می‌توان از جدول (۳) تعیین نمود. در این طبقه‌بندی دسته I دارای کمترین خطر و دسته IV دارای بیشترین خطر می‌باشند.

میزان خطر ساختگاه به چهار بخش قابل تقسیم‌بندی است (جدول ۱):

جدول ۱ دسته‌بندی خطر لرزه‌ای در ساختگاه سد بر مبنای بیشینه مقادیر شتاب زمین [1]

شرایط	درجه خطر (میزان خطر)
$PGA < 0.1g$	I (کم)
$0.1g < PGA < 0.25g$	II (متوسط)
$PGA > 0.25g$ و هیچ گسل فعالی تا فاصله ۱۰ کیلومتری وجود ندارد	III (زیاد)
$PGA > 0.25g$ و یک گسل فعال در فاصله کمتر از ۱۰ کیلومتر وجود دارد	IV (خیلی زیاد)

ب) میزان خطرپذیری سد: میزان خطرپذیری سد

جدول ۲ عوامل مؤثر در میزان خطرپذیری سد [1]

عامل خطرپذیری	خیلی زیاد	زیاد	متوسط	کم
گنجایش مخزن (میلیون متر مکعب)	>120 (6)	1-120 (4)	0.1-1 (2)	<0.1 (0)
ارتفاع سد (متر)	>45 (6)	30-45 (4)	15-30 (2)	<15 (0)
تعداد افرادی که در زمان خطر باید تخلیه شوند	>1000 (12)	100-1000 (8)	1-100 (4)	هیچ (0)
آسیب بالقوه پایین دست	زیاد (12)	متوسط (8)	کم (4)	هیچ (0)

جدول ۳ درجه خطرپذیری سد [1]

درجه خطرپذیری (میزان خطرپذیری)	عامل خطرپذیری کل
I (کم)	(0-6)
II (متوسط)	(7-18)
III (زیاد)	(19-30)
IV (خیلی زیاد)	(31-36)

سد (ARF) می‌باشد.

DHF: ضریب خطر پایین دست بر اساس ریسک جمعیت.
PDF: نرخ صدمه‌پذیری (تابعی از خطر لرزه‌ای سایت سد).

(۱) تأثیر سازه سد: شامل ضریب ریسک مخزن (CRF) و ضریب ریسک ارتفاع (HRF) است و نشان‌دهنده این است که ارتفاع سد یا مخزن بزرگ توانایی جریان زیاد سیل را دارد. ضریب ریسک سن (ARF) نمایش‌دهنده این است که سدهای قدیمی صدمه‌پذیری بیشتری نسبت به سدهای جدید دارند. مقادیر ضریب ریسک سازه سد در جدول (۴) و (۵) آورده شده‌است.

(۲) خطر پایین دست: مجموع ضریب خطر پایین دست از فرمول (۲) محاسبه می‌گردد:

$$DHF=ERF+DRI \quad (2)$$

که (ERF) در آن ضریب تخلیه پایین دست است و بستگی به جمعیت پایین دست دارد و (DRI) نشانه ریسک خرابی پایین دست است که بستگی به خصوصیات اقتصادی، صنعتی، دولتی و خصوصی در مسیر سیل دارد. این ضرایب از ترکیب شاخه‌های سد، نقشه سیلابگیر و مطالعات اقتصادی به دست می‌آیند. DHF (پتانسیل خطر پایین دست) هنگامی که اطلاعات جدیدی از تعمیرات سد، به‌سازی و... وجود داشته باشد باید به‌روزرسانی شود (جدول ۶). هنگامی که اطلاعات زیادی از ERF, DRI بر اساس مطالعات جزئی وجود نداشته باشد از جدول (۷) استفاده می‌شود.

بر این اساس، برای سدهایی با میزان خطرپذیری پایین یا متوسط، به‌کار بردن روش‌های ارزیابی ساده نظیر تحلیل شبه‌استاتیک به شرطی که مصالح پی و بدنه سد مستعد کاهش شدید سختی و یا مقاومت نباشند، ممکن است قابل قبول باشد ولی در سدهایی با درجه خطرپذیری زیاد و در ساختگاه‌هایی با خطر لرزه‌ای زیاد لازم است تحلیل‌های دقیق‌تر مورد توجه قرار گیرد؛ اما در هر حال به‌منظور دستیابی به اطلاعات اولیه از نحوه تأثیر خصوصیات زلزله بر سد توصیه می‌شود همواره تحلیل‌های ساده نظیر تحلیل شبه‌استاتیک پیش از تحلیل‌های تفصیلی مدنظر قرار گیرد.

تحلیل ریسک لرزه‌ای نیمه کمی

رابطه بورا. در این قسمت به بیان رابطه بورا [7] پرداخته شده‌است. در این رابطه آورده شده‌است که برای سدهایی که احتمال زمین لرزه‌های شدید و متوسط در آنها وجود دارد باید تحلیل ریسک زلزله انجام گیرد و این تحلیل نیازمند داشتن اطلاعات جامع و کافی از سدها شامل نام، نوع سد، اهداف اجرای سد، سال تکمیل یا به‌سازی، محل، ابعاد، ظرفیت مخزن و خطر پایین دست می‌باشد و باید برنامه‌ریزی برای موارد ضروری وجود داشته باشد. در این قسمت ضریب مجموع ریسک (TRF) توسط فرمول (۱) معرفی شده‌است:

$$TRF=[(CRF+HRF+ARF)+DHF]*PDF \quad (1)$$

(CRF+HRF+ARF): تأثیر سازه سد که شامل مجموع ضرایب ریسک ظرفیت (CRF) و ارتفاع (HRF) و سن

جدول ۴ ضرایب حجم مخزن و ارتفاع سد [7]

سهم در مجموع مقدار ریسک				عامل ریسک
کم	متوسط	زیاد	شدید	
۱۰۰> (۰)	۱۰۰-۱۰۰۰ (۲)	۱۰۰۰-۵۰۰۰۰ (۴)	۵۰۰۰۰< (۶)	ظرفیت (CRF) (acre-feet)
۲۰> (۰)	۲۰-۴۰ (۲)	۴۰-۸۰ (۴)	۸۰< (۶)	ارتفاع (HRF) (feet)

جدول ۵ ضریب سن سد [7]

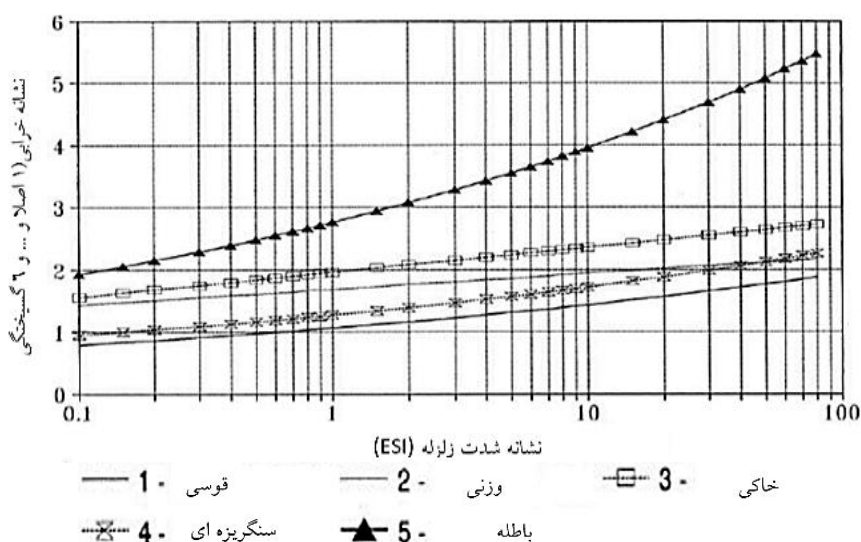
سال ساخت سد	۱۹۰۰ >	۱۹۲۵-۱۹۰۰	۱۹۵۰-۱۹۲۵	۱۹۷۵-۱۹۵۰	۱۹۷۵-۲۰۰۰	۲۰۰۰ <
سن سد (ARF)	۶	۵	۴	۳	۲	۱

جدول ۶ تعیین ضریب ریسک پایین دست [7]

سهام در مجموع مقدار ریسک				عامل ریسک
کم	متوسط	زیاد	شدید	
هیچ	۱-۱۰۰	۱۰۰-۱۰۰۰	۱۰۰۰ <	تعداد افراد که باید تخلیه شوند (ERF)
(۱)	(۴)	(۸)	(۱۲)	
اصلا	کم	متوسط	زیاد	ریسک خرابی پایین دست (DRI)
(۱)	(۴)	(۸)	(۱۲)	

جدول ۷ تعیین ضریب ریسک پایین دست هنگامی که اطلاعات ضعیف باشد [7]

فاکتور خطر پایین دست (DHF)	خرابی اقتصادی و محیط زیستی	از بین رفتن افراد زنده	نرخ پتانسیل خطر پایین دست
۲	خیلی کم	بدون از دست رفتن افراد	کم
۱۲	بله	بدون از دست رفتن افراد	قابل توجه
۲۴	بله	احتمالاً یک نفر یا بیشتر	زیاد

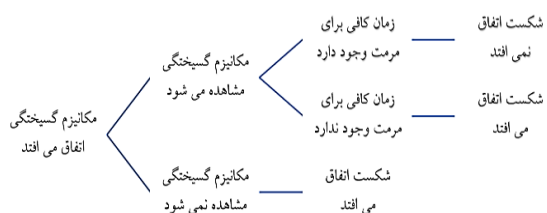


شکل ۱ شاخص خرابی پیش بینی شده [7]

کمیسیون بین‌المللی سدهای بزرگ بررسی شده است.

بولتن ۱۳۰ کمیسیون بین‌المللی

سدهای بزرگ [10]. تحلیل ریسک کمی شامل تحلیل دقیق تمامی عوامل تأثیرپذیر از سد می‌باشد. هدف نهایی تحلیل ریسک، بررسی کمی احتمال و عواقب شکست سد می‌باشد (شکل ۲). اجزای هر سیستم می‌تواند به صورت یک سیستم نمایش داده شود و می‌تواند به ریزسیستم‌هایی، مانند بدنه سد یا سرریز بتنی، تبدیل شود و زیرمجموعه بعدی نیز به مؤلفه‌های پایه‌ای، مانند هسته سد و ریپ‌ریپ محافظ تبدیل می‌شود.



شکل ۲. دیاگرام کلی نمایش ریسک شکست [10]

سد، مخزن رودخانه یا حوضه آبخیز زیرمجموعه‌های مختلف برای نمایش دادن مدل است. این مدل‌سازی به وسیله روش‌های متفاوتی می‌تواند انجام شود و بسته به هدف تحلیل ریسک، روش‌های متفاوتی برای مدل‌سازی سیستم و عملکرد آن مورد نیاز است. مشخص کردن سیستم موردنظر و مرزها بحث مهمی در فرایند تصمیم‌گیری علمی است. در این روش باید مرزهای سیستم و عوامل تأثیرپذیر به خوبی مشخص شده باشند. علاوه بر آن، مشخص کردن سیستم و زیرمجموعه برای تحلیل، مهم است و روش واحدی برای مشخص کردن این مرزها وجود ندارد (شکل ۳).

فرایند تحلیل ریسک شامل مجموعه‌ای از ریزسیستم‌هاست که می‌تواند دارای زیرمجموعه‌هایی باشد و ارتباط زیرمجموعه‌ها با یکدیگر می‌تواند قسمتی از فرایند کامل باشد (شکل ۴).

(۳) ضریب صدمه‌پذیری لرزه‌ای: در این قسمت برای به دست آوردن ضریب PDF مراحل زیر طی می‌شود: ابتدا مقدار نشانه شدت زلزله (ESI) از رابطه (۳) به دست می‌آید:

$$ESI = PGA * (M - 4.5)^3 \quad (3)$$

که در آن PGA برحسب g و M بزرگی گشتاوری یا ریشتر می‌باشد. سپس از روی شکل (۱) مقدار نشانه خرابی پیش‌بینی شده (PDI) مشخص می‌شود.

$$PDF = 2.5 * PDI \quad (4)$$

(۴) تعیین دسته‌بندی ریسک: مرحله نهایی تحلیل دسته‌بندی سدها براساس مقدار TRF در رده‌های I (ریسک کم) تا IV (ریسک شدید) در جدول (۸) نمایش داده شده است.

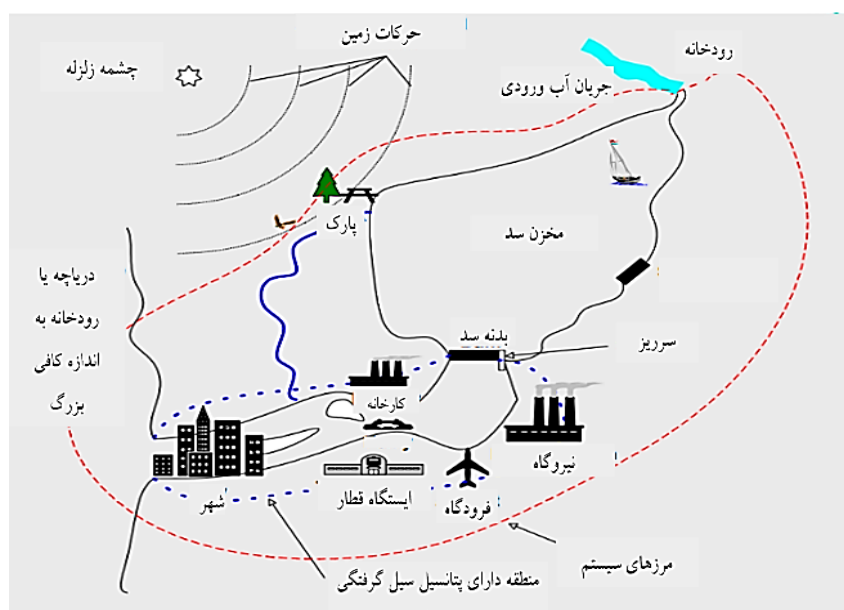
جدول ۸. تعیین دسته‌بندی ریسک سد [7]

دسته‌بندی ریسک سد	مجموع ضرایب ریسک (TRF)
I (کم)	۲ تا ۲۵
II (متوسط)	۲۵ تا ۱۲۵
III (زیاد)	۱۲۵ تا ۲۵۰
IV (شدید)	بزرگ‌تر از ۲۵۰

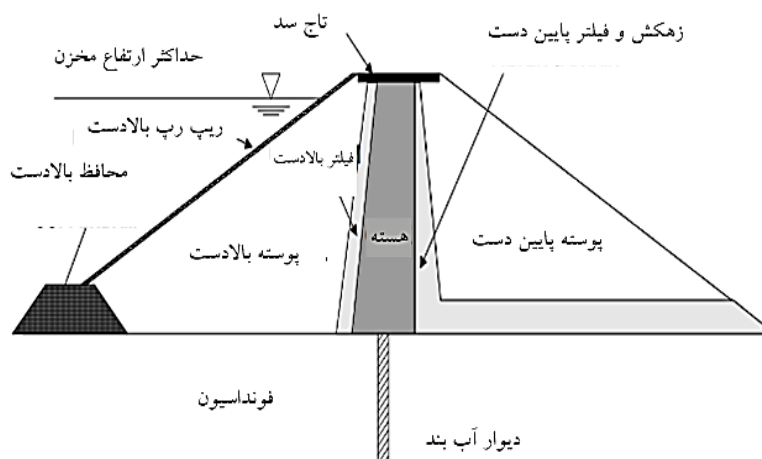
روش فوق روشی سریع برای به دست آوردن مقدار ریسک سدهای بزرگ می‌باشد و مقدار TRF راهنمایی مناسب برای ایمنی سدهای موجود و ضرورت انجام تحلیل‌های دیگر در صورت بحرانی بودن است.

تحلیل ریسک کمی

اصول عمومی تحلیل ریسک کمی که راهنمای خوبی برای به کار بردن مباحث ایمنی سد می‌باشد در طی ۱۰ تا ۱۵ سال اخیر مورد بحث قرار گرفته است. راهنمایی برای تحلیل ریسک کمی سد توسط کمیسیون بین‌المللی سدهای بزرگ [9]، کمیته ملی سدهای بزرگ استرالیا [12] (ANCOLD) و مؤسسه فدرالی امریکا [13] (FEMA) ارائه شده است که در این تحقیق روش



شکل ۳ مرزهای سیستم مورد بررسی [10]



شکل ۴ مشخص کردن جزئیات سیستم [10]

زیرسیستم‌ها نیز می‌توانند به زیرسیستم‌های دسته سوم تقسیم شوند. احتمال گسیختگی هر یک از زیرمجموعه‌ها به شکل احتمالاتی مانند شکل (۵) مورد بررسی قرار می‌گیرد.

مکانیزم گسیختگی و فرایند فیزیکی حوادث براساس قوانین طبیعی است. مکانیزم گسیختگی نیز واحد نیست و نمایش آن بستگی به روش سیستم و تابع گسیختگی دارد.

مدهای گسیختگی نشان می‌دهند که چگونه المان‌ها یا مؤلفه‌هایی که گسیخته می‌شوند، می‌توانند سیستم یا زیرمجموعه‌ها را تحت تأثیر قرار دهند. برای مثال مدهای گسیختگی سد خاکی به طور وسیعی گسترده‌اند و عواملی مانند روگذری، فرسایش داخلی، حرکت توده و عدم پایداری شیروانی را شامل می‌شوند. این دسته‌بندی کلی مدهای گسیختگی نیز گسترده است و برای هر مؤلفه با عمیق شدن در سیستم گسترده می‌شود. به هر حال این

ملاحظات کامل خطر و ریسک سد که پتانسیل خطر عظیمی برای پایین‌دست دارد، می‌تواند برای مراکز مدیریت بحران برای طراحی، نگه‌داری و عملیات بلندمدت مفید و مؤثر باشند. بنابراین قسمت مهمی از مبحث ایمنی سدها و پایین‌دست از خروجی‌های تحلیل ریسک است.

روش‌های کمی مانند روش‌های مورد تحقیق در تحلیل درخت وقایع ((Event Tree Analysis(ETA) و دیگر تحلیل‌ها مانند تحلیل عواقب شکست سد از روش‌های موجود در تحلیل ریسک است.

مدهای گسیختگی و آنالیز عواقب آن (Failure

روش (Modes and Effects Analysis (FMEA) مقایسه‌ای از آنالیز می‌باشد که برای نقص خاصی یا برای حالت کامل نقص‌ها به‌کار می‌رود. این روش می‌تواند به چندین صورت و برای هدف‌های زیادی به‌کار رود.

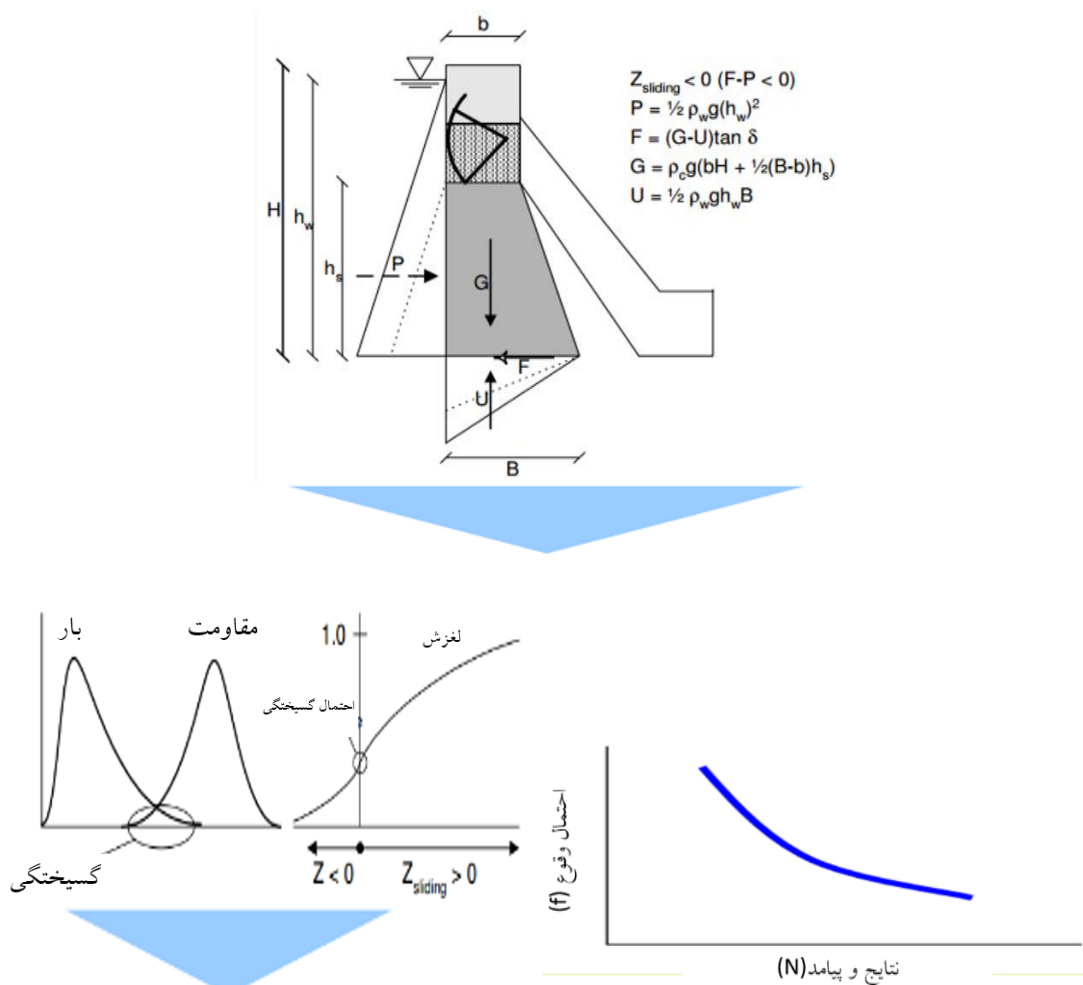
تحلیل درخت وقایع به‌طور گسترده توسط مهندسان برای حالت‌های وقایع و عواقب آن به‌کار می‌رود که می‌تواند برای سد نیز بین عملکرد و شکست حالت‌های مختلف سیستم استفاده شود (شکل ۶).

تحلیل درخت نواقص (Fault Tree Analysis (FTA) تخصیص مقدار ریسک با توجه به احتمال برای هر شاخه درخت وقایع است (شکل ۷).

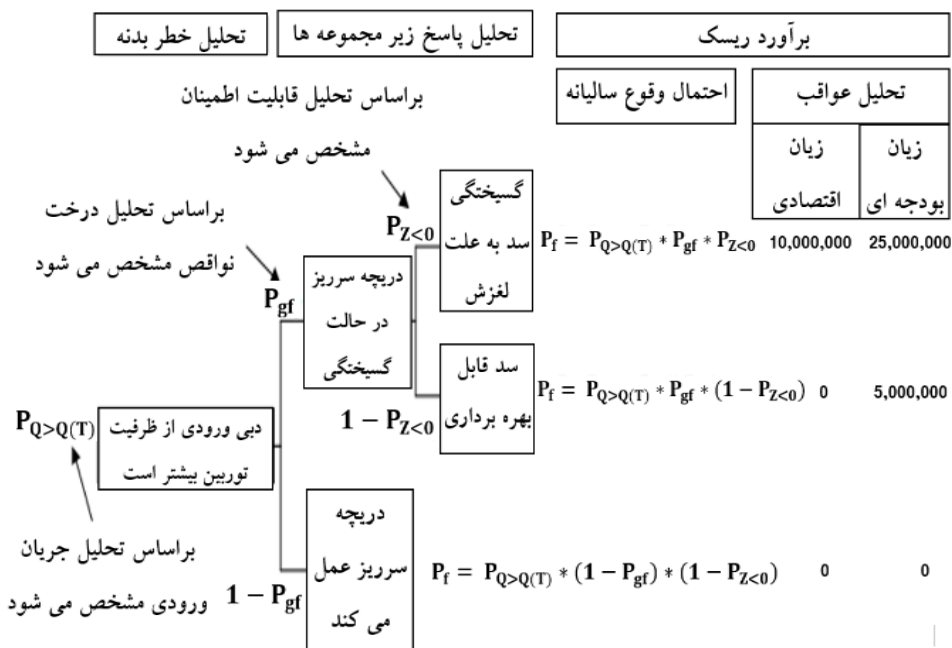
ملاحظات کامل خطر و ریسک سد که پتانسیل خطر عظیمی برای پایین‌دست دارد، می‌تواند برای مراکز مدیریت بحران برای طراحی، نگه‌داری و عملیات بلندمدت مفید و مؤثر باشند. بنابراین قسمت مهمی از مبحث ایمنی سدها و پایین‌دست از خروجی‌های تحلیل ریسک است.

روش‌های کمی مانند روش‌های مورد تحقیق در تحلیل درخت وقایع ((Event Tree Analysis(ETA) و دیگر تحلیل‌ها مانند تحلیل عواقب شکست سد از روش‌های موجود در تحلیل ریسک است.

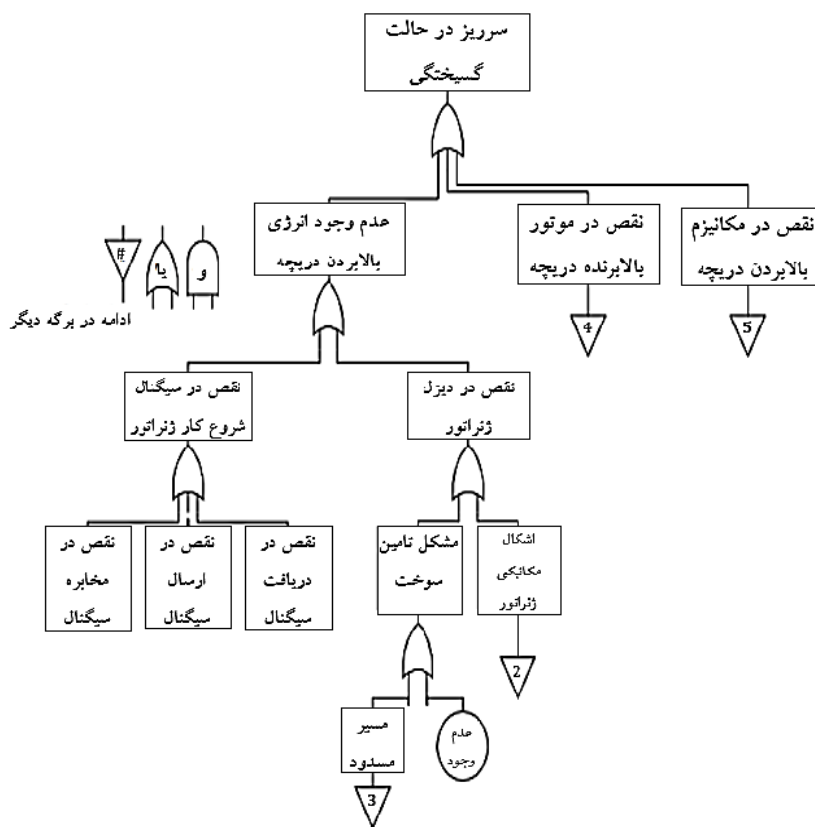
مدهای گسیختگی و آنالیز عواقب آن (Failure



شکل ۵ احتمال گسیختگی زیرمجموعه‌های سیستم [10]



شکل ۶ مثال درخت وقایع ریسک سد [10]



شکل ۷ مثال درخت نواقص ریسک سد [10]

خلاصه کرد:

(۱) شناسایی چشمه‌های لرزه‌زا و مدل سازی آنها. (۲) گردآوری کاتالوگ زلزله‌های گستره طرح و تعیین پارامترهای لرزه‌خیزی. (۳) بررسی روابط کاهندگی موجود و انتخاب منطقی آنها. (۴) تعیین پتانسیل لرزه‌خیزی سرچشمه‌های لرزه‌زا در گستره طرح. (۵) تعیین مقادیر جنبش نیرومند زمین (حداکثر شتاب) در ساختگاه مورد نظر. (۶) با استفاده از این مراحل مقادیر شتاب بر روی سنگ بستر در جهت طراحی به‌ازای سطوح مختلف به‌دست می‌آید.

تحلیل خطر زلزله به‌عنوان ورودی تحلیل‌های ریسک زلزله می‌باشد و از اهمیت زیادی برخوردار است.

نتایج

نتایج تحلیل خطر زلزله. در این تحقیق ابتدا گسل‌هایی که به شعاع ۱۵۰ کیلومتر اطراف سد قرار دارد مشخص گردیده‌است و تحلیل خطر قطعی (Deterministic) برای محل موردنظر انجام گردیده‌است و سپس زلزله‌های تاریخی و دستگاهی از سال ۱۹۰۰ تا ۲۰۱۵ برای منطقه جمع‌آوری شده‌است و پس‌لرزه‌ها و پیش‌لرزه‌ها از آن حذف شده‌اند و حذفیات ضروری روی این داده‌ها صورت گرفته‌است تا کاتالوگ زلزله به‌دست آید. سپس با نرم‌افزار اکسل پارامترهای رابطه بازگشتی گوتنبرگ-ریشر به‌دست آمده‌است. به وسیله برنامه نویسی در نرم‌افزار متلب چند کد برای محاسبه پارامترهای منحنی خطر و نمودارهای متناظر با آن رسم شده‌اند و نتایج به‌شرح زیر مشخص گردیده‌است.

(۱) شناسایی گسل‌های منطقه: گسل‌ها باتوجه به سابقه و میزان فعالیت آنها برای استفاده در مطالعات تحلیل خطر به چهار گروه زیر تقسیم می‌شوند که عبارت‌اند

از:

الف) گسل‌های فعال: گسل‌هایی که سابقه فعالیت در دوران کوارترنر در آنها دیده شده‌است.

ب) گسل‌هایی که احتمال فعالیت دارند: گسل‌هایی که کمتر از ۲ میلیون سال عمر دارند و در مناطق فعال

به‌کار بردن احتمال برپایه داده‌ها و مدل‌های پدیده‌شناسی است. با داده‌های زیاد و درک تئوری پایه‌ای پدیده‌ها، تحلیل‌های آماری روش‌های مناسبی برای پیش‌بینی می‌باشند. در حالت اطلاعات کافی و موجود بودن روش‌های مناسب انجام تحلیل به‌صورت آماری مناسب است. در حالت اطلاعات ضعیف و روش‌های نامناسب تحلیل‌های آماری دارای عدم قطعیت‌های زیادی هستند. قضاوت و تصمیم درست با افزایش داده‌های مناسب و روش‌های مناسب به‌طور صحیح‌تری انجام می‌شود.

همه موارد بالا نیازمند موارد زیر است:

(۱) داده‌های کامل و زیاد (درباره وقایع و شکست سد).

(۲) به‌کار بردن پدیده‌شناسی خطرهای مدل که پایه مدهای شکست سد است.

(۳) مدل‌سازی شکست و مکانیزم نقص سد. تحلیل ریسک چهارچوبی برای در نظر گرفتن دانش و قضاوت متخصصان سد برای برآورد ریسک است و در صورت دقت زیاد در تحلیل ریسک کمی تصمیم‌گیری‌ها با صرفه اقتصادی همراه می‌باشد.

سد چاه‌نیمه ۱ زابل [14]

مجموعه دریاچه‌های چاه‌نیمه در موقعیت جغرافیایی N3047 E6135 در استان سیستان و بلوچستان واقع شده‌است. چاه‌نیمه‌ها که چهار گودال طبیعی آب را شامل می‌شود در ۳۵ کیلومتری زابل در شهرستان زهک قرار گرفته‌است. در مواقع کم‌آبی، آب آشامیدنی تمام منطقه سیستان و شهرستان زاهدان و نیز قسمتی از آب کشاورزی سیستان از این دریاچه مصنوعی تأمین می‌شود.

هدف از انجام تحلیل خطر

هدف از تحلیل خطر زلزله تعیین پتانسیل وقوع زلزله در آینده با استفاده از تئوری احتمالات در تخمین مقادیر جنبش نیرومند زمین به‌ازای سطوح مختلف طراحی می‌باشد. مراحل انجام کار را می‌توان به‌صورت زیر

این تحقیق از نقشه گسل‌های سازمان زمین‌شناسی و اکتشافات معدنی کشور [16] که تعداد گسل بیشتری در آن مشخص گردیده‌است، نیز استفاده شده‌است.

بررسی گسل‌های فعال در کشورهای افغانستان و

پاکستان در منطقه مورد مطالعه. باتوجه به این‌که شعاع ۱۵۰ کیلومتری اطراف سد چاه‌نیمه هم در کشور پاکستان و هم در کشور افغانستان قرار می‌گیرد، با مراجعه به مطالب موجود در سایت‌های اینترنتی (USGS [17] و...) این نکته مشخص می‌شود که در قسمت جنوب غربی افغانستان و شمال شرقی پاکستان گسل‌های فعالی وجود ندارد و نقشه گسل‌های ایران نیز می‌تواند تأییدکننده این نتیجه‌گیری باشد که در فاصله کمتر از ۱۵۰ کیلومتری غربی سد چاه‌نیمه هیچ‌گونه گسلی حتی کوچک نیز مشاهده نمی‌شود. در شکل (۸) نقشه گسل‌های افغانستان و پاکستان و لرزه‌خیزی این دو کشور آورده شده‌است.

همان‌طور که در شکل (۱۰) مشخص شده‌است هیچ گسلی از کشور افغانستان در داخل محدوده مورد مطالعه ما قرار نمی‌گیرد و برای مطالعه تحلیل خطر زلزله باید گسل‌های داخل ایران مورد مطالعه و بررسی قرار بگیرند.

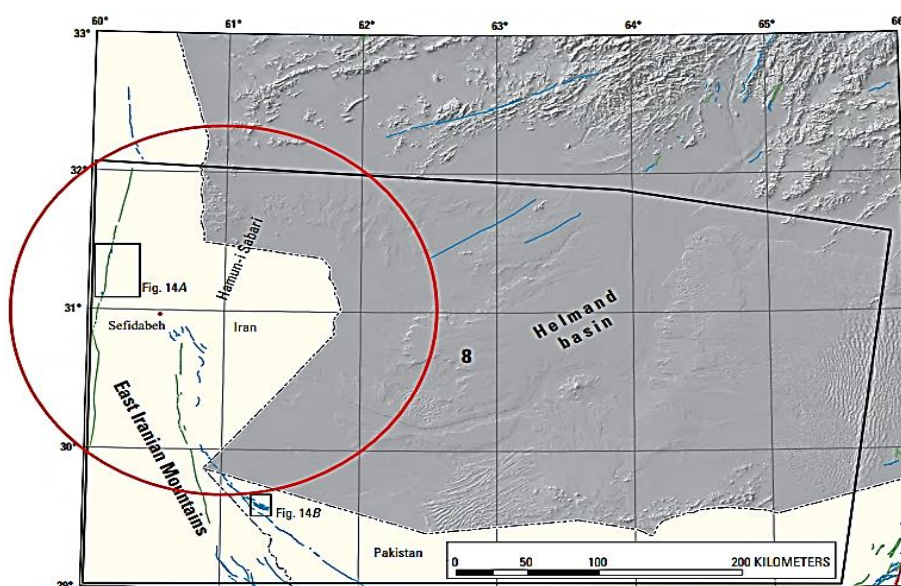
تکتونیکی قرار دارند اما هنوز فعالیتی از آنها دیده نشده‌است.

ج) گسل‌هایی که اطمینانی به فعالیت یا عدم فعالیت آنها نیست.

د) گسل‌های غیرفعال.

علت این امر آن است که بسیاری از گسل‌های شناخته‌شده، در سالیان دور (صدها یا میلیون‌ها سال پیش) حرکت نموده‌اند، ممکن است امروز فعال نباشند. گسل‌های فعال، پایه تحلیل خطر منطقه هستند ولی برای دقت بیشتر و مقادیر واقعی خطر می‌بایست گسل‌های نوع ۲ و ۳ که در بالا توضیح داده شده‌است را نیز در محاسبات تاحدی لحاظ نمود. برای شناسایی گسل‌های فعال و تعیین میزان فعالیت آنها می‌توان از اطلاعات زمین‌شناسی نظیر خزش در گسل‌ها، به‌وجود آمدن چشمه‌های جدید و عدم فرسایش دیواره‌های گسل در روی زمین و... استفاده کرد.

در نقشه گسل‌های ایران که توسط پژوهشگاه بین‌المللی زلزله‌شناسی و مهندسی زلزله [15] تهیه شده‌است، انواع گسل‌های فعال موجود به‌همراه نوع آن از نظر فعالیت و حرکت در کل ایران آورده شده‌است. در



شکل ۸. بررسی گسل‌های موجود در افغانستان و پاکستان [17]

محاسبات تحلیل خطر قطعی

در این پروژه از نقشه گسل‌های فعال پژوهشگاه بین‌المللی زلزله‌شناسی و مهندسی زلزله و نقشه گسل‌های سازمان زمین‌شناسی و اکتشافات معدنی ایران استفاده شده است.

فرضیات مورداستفاده در این پروژه به صورت زیر می‌باشد:

- (۱) تمام گسل‌ها در طول گسل رفتار یکسان دارند. (۲) تمام گسل‌ها امتداد لغز می‌باشند. (۳) شعاع ۱۵۰ کیلومتر برای بررسی تحلیل خطر استفاده می‌شود. (۴) در محاسبات از بزرگای گشتاوری (M_w) استفاده شده است. (۵) در محاسبه بزرگای گشتاوری از رابطه بزرگا- طول گسیختگی برای زلزله‌های ایران استفاده شده است که توسط زارع [18] ارائه شده است (رابطه ۵):

$$M_w = 0/91 \ln L_R + 3/66 \quad (5)$$

که در آن L_R طول گسیختگی گسل است که برابر ۳۷ درصد طول واقعی گسل (L_F) منظور شده است. همان‌گونه که ملاحظه می‌شود، رابطه بالا با همگن کردن بزرگای مختلف زلزله‌های ایران براساس بزرگای

گشتاوری M_w بیان شده است. تحلیل خطر به روش قطعی براساس PGA می‌باشد.

از رابطه کاهندگی زارع [18] که در زیر آمده است استفاده می‌کنیم (رابطه ۶):

$$PGA = aM + bX - \log X + C_i S_i + \sigma \cdot \rho \log A \quad (6)$$

A: پارامتر جنبش شدید زمین (حداکثر شتاب).

M: بزرگای گشتاوری (M_w).

X: فاصله کانونی (km) که از رابطه $X = \sqrt{d^2 + h^2}$ به دست می‌آید. در این رابطه d فاصله رومرکزی و h عمق کانونی می‌باشد.

C_i : ضریب ساختگاه S_i .

σ : انحراف معیار.

S_i : چهار نوع است و باتوجه به نوع ساختگاه یکی از چهار C_i که در جدول (۹) آمده است لازم می‌باشد (مثلاً اگر نوع خاک S_3 باشد $C_3 = 1$ و بقیه Cها صفر است).

اگر تحلیل خطر به روش قطعی باشد $\sigma \cdot \rho$ حذف می‌شود و در تحلیل خطر به روش احتمالاتی استفاده می‌شود.

در جدول (۱۰) دسته‌بندی خاک‌ها براساس سرعت موج برشی آورده شده است.

جدول ۹ مقادیر استفاده شده برای فرمول زارع [18]

Zone(comp)	a	b	C_1	C_2	C_3	C_4	σ
Central Iran and Alborz(H)	۰/۳۲۲	-۰/۰۰۰۳	-۰/۸۲۸	-۰/۷۵۴	-۰/۹۷۱	-۰/۷۸۸	۰/۳۵۲
Central Iran and Alborz(V)	۰/۳۲۲	-۰/۰۰۰۴	-۰/۶۸۸	-۰/۴۵۸	-۰/۷۲۰	-۰/۵۸۵	۰/۳۹۴
Zagros(H)	۰/۴۰۶	-۰/۰۰۳۸	-۱/۲۶۲	-۱/۳۳۳	-۱/۲۳۰	-۱/۷۷۷	۰/۳۵۶
Zagros(V)	۰/۳۹۹	-۰/۰۰۱۹	-۱/۰۴۷	-۱/۰۶۵	-۱/۰۲۰	-۰/۹۷۵	۰/۳۲۹
Total of Iran(H)	۰/۳۶۲	-۰/۰۰۰۲	-۱/۱۲۴	-۱/۱۵۰	-۱/۱۳۹	-۱/۰۶۴	۰/۳۳۶
Total of Iran(V)	۰/۳۶۰	-۰/۰۰۰۳	-۰/۹۱۶	-۰/۸۵۲	-۰/۹۰۰	-۰/۸۵۹	۰/۳۳۳

جدول ۱۰ دسته‌بندی نوع خاک سایت [18]

Site class	متوسط سرعت موج برشی در ۳۰ متر اول خاک
C_1 : Rock	$700 < V_{s30}$
C_2 : Hard Allovium	$500 < V_{s30} < 700$
C_3 : soft Allovium	$300 < V_{s30} < 500$
C_4 : Soft Soil	$V_{s30} < 300$

محاسبات تحلیل خطر به روش قطعی براساس نقشه گسل های فعال پژوهشگاه بین المللی زلزله شناسی و مهندسی زلزله [15]. در این قسمت باتوجه به نقشه گسل های فعال پژوهشگاه بین المللی زلزله شناسی و مهندسی زلزله تحلیل خطر زلزله سد چاه نیمه انجام گردیده است. در شکل (۹) محل قرارگیری سد چاه نیمه و محدوده اطراف آن و گسل های واقع در محدوده مشخص شده است.

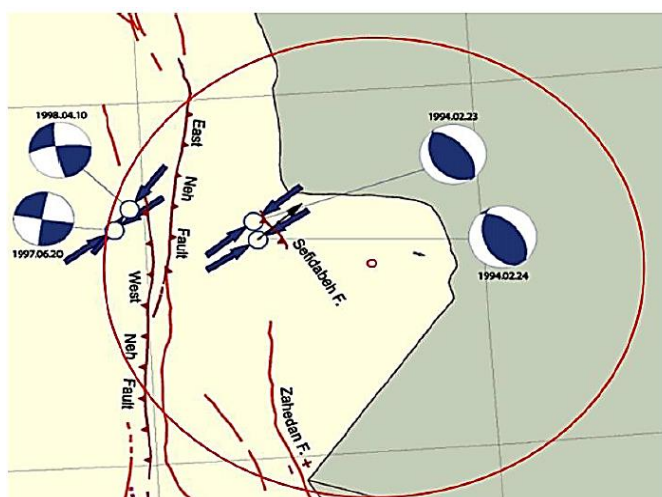
در جدول (۱۱) محاسبات مربوط به گسل های قرارگرفته در شکل فوق آورده شده است.

همان طور که از جدول مشاهده می شود بیشترین مقدار PGA برابر $0.279g$ و برای گسل زاهدان می باشد.

محاسبات تحلیل خطر به روش قطعی براساس نقشه گسل های فعال سازمان زمین شناسی و اکتشافات معدنی ایران [16]. در این قسمت باتوجه به نقشه گسل های سازمان زمین شناسی و اکتشافات معدنی تحلیل خطر زلزله سد چاه نیمه انجام گردیده است. در شکل (۱۰) محل قرارگیری پروژه و محدوده اطراف آن و گسل های واقع در محدوده مشخص شده است.

در جدول (۱۲) محاسبات مربوط به گسل های قرارگرفته در شکل فوق آورده شده است.

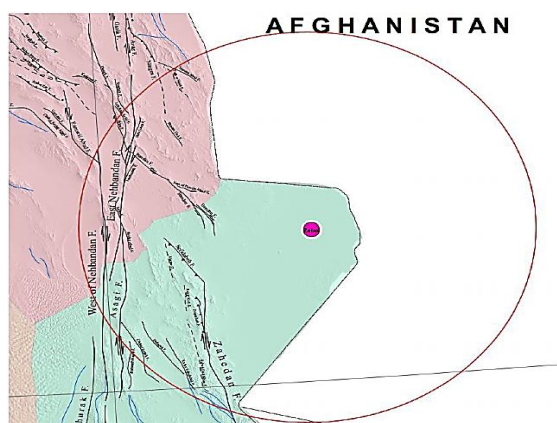
همان طور که از جدول مشاهده می شود بیشترین مقدار PGA برابر $0.269g$ و برای گسل زاهدان می باشد.



شکل ۹ موقعیت گسل های اطراف محل مورد نظر [15]

جدول ۱۱ محاسبات تحلیل خطر قطعی براساس نقشه پژوهشگاه

PGA	logA	X(Km)	D(Km)	M_w	Lf (Km)	گسل
0.153507	-0.81387	36.06938	26	5.219556	15	سفیدابه
0.248339	-0.60496	66.85058	62	6.553923	65	شرق نهبندان
0.298436	-0.52515	44.65423	37	6.278023	48	زاهدان
0.165277	-0.78179	66.85058	62	6.065434	38	آساگی
0.089913	-1.04618	72.44998	68	5.43467	19	پاداگروک
0.055651	-1.25453	77.16217	73	4.937315	11	کوه صاحبداد
0.240287	-0.61927	70.5762	66	6.581501	67	غرب نهبندان



شکل ۱۰ موقعیت گسل‌های اطراف محل مورد نظر [16]

جدول ۱۲ محاسبات تحلیل خطر قطعی براساس نقشه سازمان زمین‌شناسی

PGA	logA	X(Km)	D(Km)	M _w	Lf(Km)	گسل
0.139857	-0.85431	114.7563	112	6.539814	64	صاحب‌داد خان
0.093673	-1.02839	134.3466	132	6.258865	47	کوه صاحب‌داد
0.268824	-0.57053	88.60023	85	6.99896	106	زاهدان
0.070916	-1.14925	147.1394	145	6.041166	37	چهل کوره
0.098764	-1.0054	139.2623	137	6.368196	53	پاداگوک
0.151659	-0.81913	131.4002	129	6.808686	86	آساگی
0.140355	-0.85277	88.60023	85	6.219293	45	سفیدابه
0.103095	-0.98676	99.20181	96	5.990597	35	دوپارکوه
0.068577	-1.16382	101.1385	98	5.525746	21	رپارکوه
0.088112	-1.05496	103.0776	100	5.85032	30	مامار
0.217221	-0.6631	133.3642	131	7.258602	141	شرق نهندان
0.148069	-0.82953	143.1992	141	6.889629	94	غرب نهندان
0.267542	-0.57261	72.44998	68	6.742875	80	بندان
0.060999	-1.21468	88.60023	85	5.219556	15	شرق حسین‌آباد
0.040733	-1.39006	136.3121	134	5.278286	16	ناسفته
0.065021	-1.18694	147.1394	145	5.937052	33	اسماعیل‌آباد
0.069172	-1.16007	113.7805	111	5.684407	25	تمام ده
0.044032	-1.35623	143.1992	141	5.43467	19	حسن‌آباد
0.043712	-1.3594	144.1839	142	5.43467	19	ده گرم
0.058951	-1.22951	147.1394	145	5.81947	29	زاهو
0.080385	-1.09483	138.2787	136	6.112111	40	لاح کوه سفید
0.059214	-1.22758	139.2623	137	5.754442	27	نرگس
0.051467	-1.28847	137.2953	135	5.568079	22	تیغ نوآب
0.055233	-1.2578	128.4562	126	5.568079	22	حیدرآباد
0.043313	-1.36339	134.3466	132	5.333455	17	استین

جدول ۱۳ توزیع زلزله‌های اتفاق افتاده در منطقه مورد نظر

M _w	3.1	3.2	3.3	3.4	3.5	3.6	3.7	3.9	4	4.1
N	1	1	1	1	3	2	1	1	2	1
M _w	4.2	4.3	4.4	4.5	4.6	4.7	4.8	4.9	5	5.1
N	2	5	5	6	3	5	1	5	2	3
M _w	6.7	5.2	5.3	5.4	5.6	5.7	5.9	6	6.5	6.7
N	1	2	4	1	2	2	2	1	2	1

[20] نظر به اهمیت بسیار زیاد این پارامترها در تعیین میزان خطر زمین‌لرزه، در این مقاله از روش کیکو و سلوول [21] استفاده شده است که بر مبنای تابع توزیع دو کراندار گوتنبرگ-ریشتر و روش آماری تخمین بیشینه بنا گردیده است. این روش دارای قابلیت‌های بسیار زیادی به خصوص در به کارگیری رویداد زمین‌لرزه‌های آمیخته و ناهمگون دارد که مشابه شرایط داده‌های لرزه‌ای ایران می‌باشد؛ بدین صورت که امکان استفاده توأم از زمین‌لرزه‌های تاریخی و دستگاهی سده بیستم با انجام دسته‌بندی‌های مناسب با در نظر گرفتن عدم قطعیت در اعلام بزرگای زمین‌لرزه‌ها (خطای بزرگا) و بزرگای آستانه متفاوت برای هر دسته وجود دارد. به علت کوچک بودن منطقه و کمبود داده‌ها از یک منحنی گوتنبرگ-ریشتر برای کل منطقه استفاده شده است (جدول ۱۴).

جدول ۱۴ پارامترهای رابطه گوتنبرگ-ریشتر

a	b	α	β	μ
۴/۱۶۳۹	۰/۶۳۱۸	۵/۱۲۲	۱/۴۵	۰/۵۰۷

مشخص کردن سرچشمه. در واقع یکی از مهم‌ترین بخش‌های تحلیل خطر، تعیین سرچشمه‌هاست. برای این کار ابتدا در نرم‌افزار گسل‌های فعال و هم‌چنین زمین‌لرزه‌های رخ داده ترسیم می‌گردد (شکل ۱۱) و در نهایت با توجه به ابعاد گسل‌ها و پراکندگی زلزله‌ها در اطراف آنها با یک قضاوت مهندسی، خطی بودن و یا سطحی بودن سرچشمه‌ها مشخص می‌شوند (شکل ۱۲).

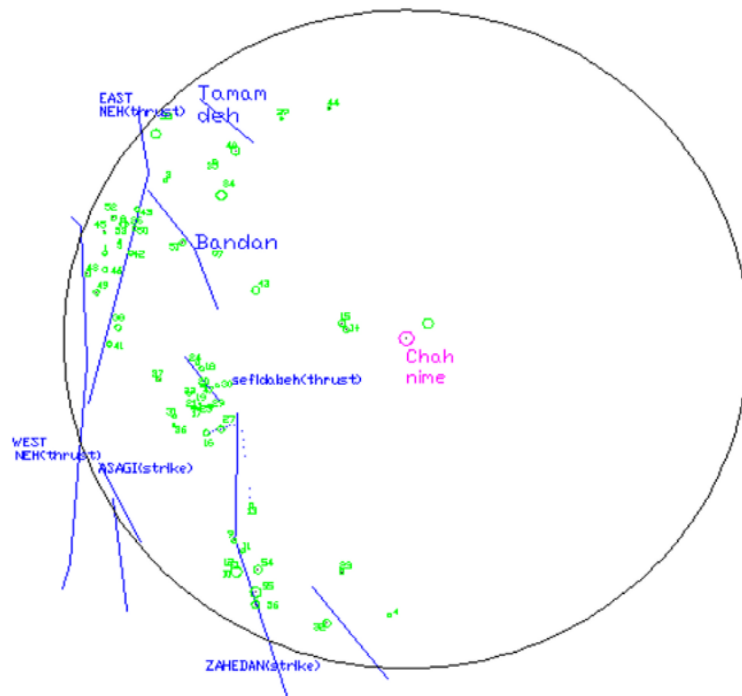
محاسبات تحلیل خطر احتمالاتی (Probabilistic)

در این قسمت محاسبات مربوط به تحلیل خطر احتمالاتی ارائه می‌گردد.

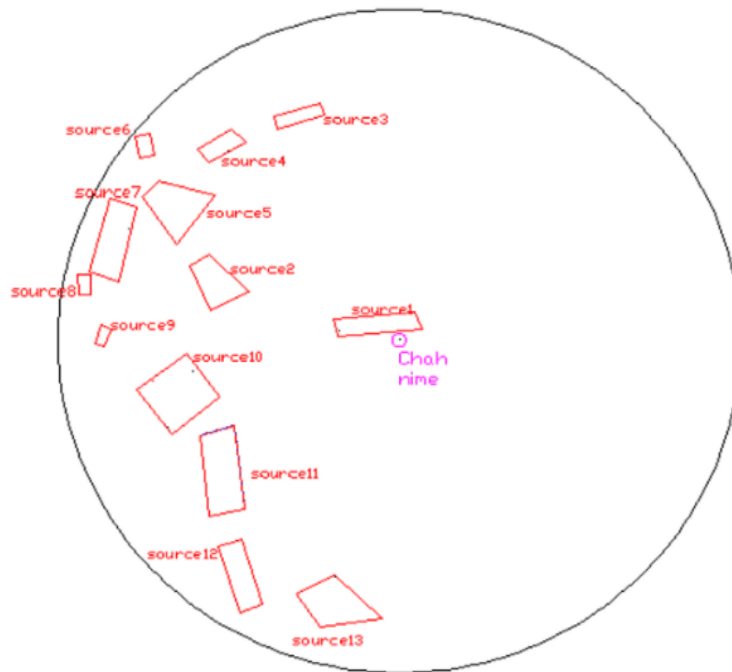
ایجاد و تنظیم کاتالوگ. برای به دست آوردن لرزه‌های رخ داده در ایران از پایگاه داده‌های USGS و پژوهشگاه بین‌المللی زلزله‌شناسی و مهندسی زلزله استفاده شده است. به منظور ارزیابی احتمالاتی لرزه‌خیزی منطقه مورد مطالعه با استفاده از کاتالوگ‌های مختلف، لیست زلزله‌های رخ داده در شعاع ۱۵۰ کیلومتری سد جمع‌آوری شده است. حداقل بزرگی مورد اعتماد برای زلزله برای رخدادهایی که بزرگای گشتاوری بزرگ‌تر از ۳ دارند، در نظر گرفته شده است (جدول ۱۳). پس از حذف داده‌های کمتر از این مقدار بزرگی در بازه‌های زمانی ذکر شده، زلزله‌هایی که در پایگاه داده‌های زمین‌لرزه یکسان هستند و در واقع نشان‌دهنده یک زلزله هستند، حذف شدند.

حذف پیش‌لرزه‌ها و پس‌لرزه‌ها. بعد از یکسان‌سازی واحدهای بزرگا، پس‌لرزه‌ها و پیش‌لرزه‌ها بر اساس معیار گاردنر و نوپوف [19] حذف شده‌اند. بدین منظور یک برنامه در نرم‌افزار متلب نوشته شد و به طور خودکار پیش‌لرزه‌ها و پس‌لرزه‌ها از کاتالوک حذف شدند.

محاسبه پارامترهای گوتنبرگ-ریشتر ($\log N_m = a - bM$)



شکل ۱۱ توزیع زلزله‌ها در ناحیه مورد نظر



شکل ۱۲ چشمه‌های در نظر گرفته شده زلزله

مشخص می‌شود و برای تعیین بزرگای از رابطه ولز و کپراسمیت [22] (جدول ۱۵) استفاده می‌شود.

انتخاب بزرگای بیشینه هر چشمه. با توجه به چشمه‌های مختلف و ویژگی‌های آنها بزرگای بیشینه برای هر چشمه

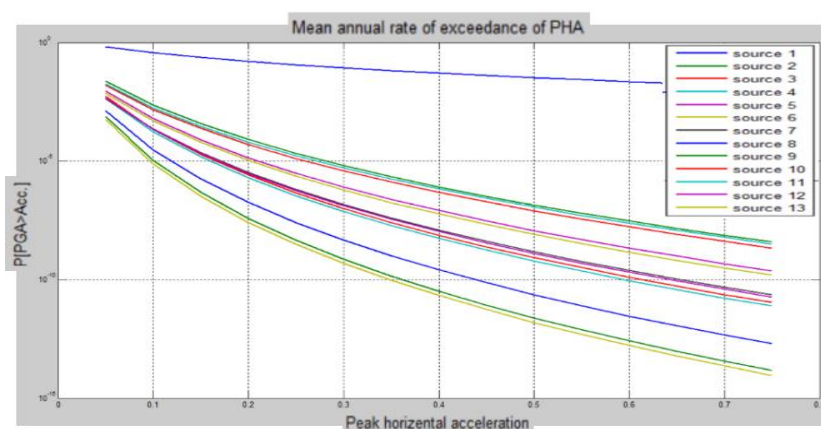
محاسبات تحلیل خطر احتمالاتی. تمام محاسبات برای هر چشمه به روش تحلیل خطر احتمالاتی انجام می‌گیرد (شکل ۱۳) و نتایج با یکدیگر ترکیب می‌شوند تا جواب نهایی به دست آید (شکل ۱۴) [23].

تحلیل خطر زلزله. همان‌طور که در بالا مشاهده شد مراحل مختلف تحلیل خطر به روش قطعی و احتمالاتی انجام گردید و تحلیل خطر قطعی برای دو نقشه گسل‌های پژوهشگاه بین‌المللی زلزله‌شناسی و مهندسی زلزله و سازمان زمین‌شناسی و اکتشافات معدنی کشور انجام گردید و نتایج به دست آمده به صورت ارائه شده در جدول (۱۶) می‌باشد.

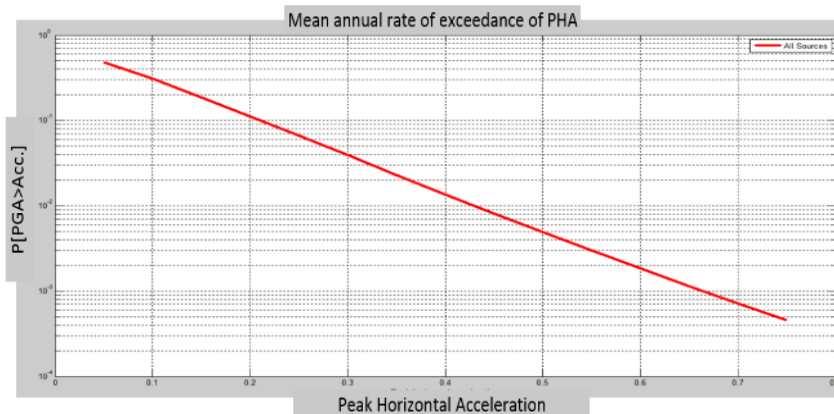
به عنوان ترکیب حالت قطعی و احتمالاتی پیشنهاد به صورت زیر می‌باشد (جدول ۱۷).

جدول ۱۵ بزرگای بیشینه چشمه‌ها برای رابطه ولز و کاپراسمیت

source	Criteria	Type	Lf	Mw(max)---Mu
source1	Area	All	419.2207	6.639993834
source2	Area	All	367.5188	6.583973922
source3	Area	All	181.6343	6.284013887
source4	Area	All	219.5877	6.364775899
source5	Area	All	694.0057	6.854535746
source6	Area	All	74.25741	5.903324974
source7	Area	All	696.7166	6.856195041
source8	Area	All	169.9162	6.255630034
source9	Area	All	58.28563	5.800250271
source10	Area	All	788.0053	6.908598553
source11	Area	All	908.1715	6.969004491
source12	Area	All	440.0387	6.660621072
source13	Area	All	971.9176	6.997876848



شکل ۱۳ منحنی توزیع خطر چشمه‌های مختلف



شکل ۱۴ منحنی توزیع خطر مجموع چشمه‌ها

جدول ۱۶ نتایج تحلیل خطر قطعی

نقشه	شتاب حداکثر
پژوهشگاه بین‌المللی زلزله‌شناسی و مهندسی زلزله	۰/۲۷۹
سازمان زمین‌شناسی و اکتشافات معدنی کشور	۰/۲۶۹

جدول ۱۷ نتایج تحلیل خطر احتمالی

دوره بازگشت			
سال ۵۰	سال ۴۷۵	سال ۹۷۵	سال ۲۴۷۵
۰/۱۰۵	۰/۱۹۵	۰/۲۳۴	۰/۲۷۹

تحلیل ریسک نیمه کمی سد چاه‌نیمه

در این قسمت از روش Bureau (2003) برای سد چاه‌نیمه استفاده می‌شود.

(۱) ضریب ریسک سد چاه‌نیمه با حجم 53550acree- feet (۶۶ میلیون مترمکعب) باتوجه به جدول (۴) در دسته‌بندی High قرار می‌گیرد و مقدار آن عدد ۴ می‌باشد.

CRF=4

(۲) ضریب ریسک سد چاه‌نیمه با ارتفاع 54feet (۱۷ متر) باتوجه به جدول (۴) در دسته‌بندی High قرار می‌گیرد و مقدار آن عدد ۴ می‌باشد.

HRF=4

(۳) سد چاه‌نیمه در سال ۱۳۵۸ به اتمام رسیده‌است و باتوجه به جدول (۵) ضریب ریسک آن عدد ۲ می‌باشد.

ARF=2

خطر پایین دست. مجموع ضریب خطر پایین دست از فرمول زیر محاسبه می‌گردد:

DHF=ERF+DRI

برای سد چاه‌نیمه تعداد افراد پایین دست در دسته‌بندی کم قرار می‌گیرد و عدد 4 مقدار آن می‌باشد.

ERF=4

برای سد چاه‌نیمه پتانسیل خطر پایین دست در دسته‌بندی کم قرار می‌گیرد و عدد 4 مقدار آن می‌باشد.

DRI=4

مجموع ضریب خطر پایین دست از فرمول زیر محاسبه می‌گردد:

DHF=ERF+DRI=4+4=8

ضریب صدمه پذیری لرزه‌ای. در این قسمت برای به دست آوردن ضریب PDF مراحل زیر طی می‌شود: ابتدا مقدار نشانه شدت زلزله (ESI) از رابطه (۳) به دست می‌آید و سپس مقدار PDF از رابطه (۴) محاسبه می‌گردد:

برای سد چاه‌نیمه مقدار ESI برابر است با:

$$ESI=0.279*(6.7-4.5)^3=2.971$$

باتوجه به شکل (۱) مقدار PDI برابر است با:

$$PDI=2.13$$

و مقدار PDF برابر است با:

$$PDF=2.5*2.13=5.325$$

و مقدار TRF برابر است با:

$$TRF=[(CRF+HRF+ARF)+DHF]*PDF$$

$$TRF=[(4+4+2)+8]*5.325=95.85$$

تعیین دسته‌بندی ریسک. سد چاه‌نیمه با مقدار TRF=95/5 در دسته متوسط قرار می‌گیرد و نیازی به طراحی مجدد و یا تقویت بدنه سد نیست.

نتیجه‌گیری

ملاحظات کامل خطر و ریسک سدهایی که هزینه ساخت

کلان خیلی مفید و قابل استفاده می‌باشد. در کشور ما به دلیل اطلاعات نسبتاً کم از پایین دست معمولاً انجام آن با مشکلات زیادی همراه می‌شود.

۴. برای تحلیل خطر زلزله سدها باتوجه به اهمیت آنها باید تحلیل خطر قطعی و احتمالاتی به‌طور هم‌زمان انجام شود.

۵. مقدار حداکثر شتاب زمین برای سد چاه‌نیمه باتوجه به تحلیل خطر قطعی و احتمالاتی برابر 0.279 به دست آمد.

۶. تحلیل ریسک نیمه‌کمی برای سد چاه‌نیمه باتوجه به تحلیل خطر انجام شده در دسته متوسط قرار می‌گیرد و نیازی به طراحی مجدد و تقویت بدنه سد نیست.

۷. روش تحلیل ریسک نیمه‌کمی باتوجه به هزینه و زمان محاسباتی نسبتاً کم می‌تواند به‌عنوان گزینه مناسب برای تحلیل ریسک کلیه سدهای کشور استفاده گردد و با تغییرات در شرایط و اطلاعات می‌توان آن را به‌روز نمود.

و نگهداری بالایی دارند و پتانسیل بالای خرابی و پیامدهای فاجعه‌آمیزی برای پایین دست دارند، می‌تواند برای مراکز مدیریتی سدها به‌منظور طراحی، نگهداری و عملیات بلندمدت مورد استفاده قرار گیرد؛ بنابراین ایمنی سدها و پایین دست از اهداف تحلیل ریسک می‌باشد. از نتایج این تحقیق می‌توان به موارد زیر اشاره نمود:

۱. تحلیل ریسک کیفی که تا قبل از سال ۲۰۰۰ به‌عنوان اصلی‌ترین روش تحلیل ریسک شناخته می‌شد امروزه کارایی چندانی در محاسبات تحلیل ریسک سدها ندارد.

۲. تحلیل ریسک نیمه‌کمی روش بسیار مناسبی برای برآورد اولیه و سریع سطح ایمنی و شرایط پایین دست سدها می‌باشد و روش Bureau (2003) روش مناسب و مورد قبولی برای تحلیل ریسک نیمه‌کمی سدها می‌باشد.

۳. تحلیل ریسک کمی نیازمند اطلاعات جامع و کافی از مشخصات سد و پایین دست سد است و نیازمند هزینه‌های زیادی می‌باشد و برای تصمیم‌گیری‌های

مراجع

1. ICOLD, "Selecting Parameters for Large Dams-Guidelines and Recommendations", Bulletin72, (1989).
2. Yegian, M. K., Marciano, E. A. and Ghahraman, V. G., "Seismic Risk Analysis for Earth Dams", *Journal of Geotechnical Engineering*, Vol. 117, No. 1, (1991).
3. Gosschalk, E. M., Severn, R. T., Charles, J. A. and Hinks, J. L., "An Engineering Guide to Seismic Risk to Dams in the United Kingdom, and its International Relevance", *Soil Dynamic and Earthquake engineering*, Vol. 13, (1994).
4. Stefanishin, D. V., "Evaluation of the Standard Safety of Dams on the Basis of Risk Criteria", *Hydrotechnical Construction*, Vol. 31, No. 2, (1997).
5. Nusier, O. K. and Shlash Alwaneh, A., "Kaferin Earth Dam Probabilistic Seismic Hazard Assessment", *Soil Mechanics and Foundation Engineering*, Vol. 43, No. 6, (2006).
6. Wieland, Martin, "What Seismic Hazard Information the Dam Engineers Need from Seismologists and Geologists?", *Secound European Conference on Earthquake Engineering an seismology*, Istanbul, (2014).

7. Bureau. G. J., Chenh, W.F., Scawthorn, C.(Eds), "Dams and Appurtenant Facilities in Earthquake Engineering Handbook". CRS press, Bora Raton, Pp. 26.1- 26.47, (2003).
8. Tosun. H., Zorluer. I., Orhan. A., Seyrek. E., Savas. H., Turkuz. M., "Seismic Hazard and Total Risk Analyses for Large Dams in Euphrates Basin, Turkey", *Engineering Geology*, Vol. 89, Pp. 155-170, (2007).
9. Moldavan. I., Constantin. A., Popesco. E., Tomadanila. D., Toader. V. E., Moldoveanu. T., Placinta. A., "Seismic Hazard and Risc Studies for ROMANIAN Large Dams Situated on BISTRITA and SIRET Rivers", *Secound European Conference on Earthquake Engineering an seismology*, Istanbul, (2014).
10. ICOLD, "Risk Assessment in Dam Safety- A Reconnaissance of Benefits, Methods and Current Applications", Bulletin130, (2005).
۱۱. «راهنمای تحلیل و طراحی لرزه‌های سدهای خاکی و سنگ‌ریز»، نشریه شماره ۶۲۴ معاونت برنامه‌ریزی و نظارت راه‌بردی رئیس جمهور، (۱۳۹۲).
12. ANCOLD, "Guidelines on Risk Assessment", Australian National Committee On Large Dams, (2003).
13. FEMA, "Federal Guidelines for Dam Safety", (FEMA 93), (1993).
۱۴. شرکت مدیریت منابع آب ایران، «اطلاعات سد چاه‌نیمه».
۱۵. پژوهشگاه بین‌المللی زلزله‌شناسی و مهندسی زلزله، «نقشه گسل‌های فعال ایران»، (۱۳۸۲).
۱۶. سازمان زمین‌شناسی و اکتشافات معدنی ایران، «نقشه گسل‌های ایران»، (۱۳۹۲).
17. United States Geological Survey, "Earthquake Hazards", (2015).
۱۸. زارع. م، «رابطه‌های مناسب برای بزرگا، شدت و بیشینه شتاب افقی براساس زمین‌لرزه‌های ایران»، پژوهش‌نامه زلزله‌شناسی و مهندسی زلزله، سال ۴، شماره ۶، (۱۳۷۴).
19. Gardner, J. K., Knopoff L., "Is the Sequence of Earthquake in southern California, with Aftershocks Removed, Poissonian?", *Bulletin of Seismological Society of America*, 64, (1974).
20. Gutenberg, B., Richter, C. F., "Frequency of Earthquake in California", *Bulletin of Seismological Society of America*, 34, (1944).
21. Kijko, A., Sellevoll, M. A., " Estimation of Earthquake Hazard Parameters from Incomplete Data Files, Part II, Incorporation of Magnitude Heterogeneity", *Bulletin of Seismological Society of America*, 82, (1992).
22. Wells, D. L., Coppersmith, K. J., "New Empirical Relationships among Magnitude, Rupture Length, Rupture Width, Rupture Area, and Surface Displacement", *Bulletin of Seismological Society of America*, 84, (1994).
۲۳. خاجی، ن، «مبانی زلزله‌شناسی مهندسی و تحلیل خطر زلزله»، انتشارات دانشگاه تربیت مدرس، (۱۳۹۲).

